

RC高橋脚の非線形地盤応答解析

岡山大学工学部 正員 竹宮 宏知
岡山大学大学院 ○学生員 赤本 弘文

1. まえがき

多径間連続高架橋においては、強震時に橋脚部が過大な変形応答性状を示すことが予想され、橋脚部の鉄筋コンクリート部材としての弾塑性域にわたる入念な耐震性の検討を行なう必要がある。本研究では、多径間連続高架橋と等価な1基橋脚の地震時における非線形応答解析を行ない、それによ、て多径間連続高架橋の地震時変形特性の検討を行なった。これは、最近の鉄筋コンクリート構造物の設計法の示している動向（許容応力度法から限界状態設計法への移行）に沿うものである。また、非線形応答計算は直積積分法(Wilson-B法)によった。

2. 解析

本研究では、解析対象構造物は図1のような各橋脚6基からなる7径間連続高架橋であるが、これを簡単に1基の等価な橋脚モデルに置換する。また、橋脚部と橋台の間に変位制御装置としてオイルダンパーと摩擦支承を用いた。RC橋脚軸体の曲げによる天端水平変位を対象にしたスケルトンカーブをフジの手順によって求める。ひびわれ時曲げモーメント(M_c)と曲率(ϕ_c)の計算は、部材の全断面が有効であるとして、 $M_c = w(\gamma_m + \frac{N}{A})$, $\phi_c = \frac{M_c}{E_c I}$ 、(γ_m :コンクリートの曲げ引張強度($\gamma_m = 1.8/\sqrt{f_c}$), f_c :コンクリートの圧縮強度, N :軸方向力, A :軸方向鉄筋)を考慮した橋脚の断面積, I :軸方向鉄筋をも考慮した橋脚の断面2次モーメント, w :軸方向鉄筋をも考慮した橋脚の断面係数, E_c :コンクリートのヤング係数)降伏時および終局時の曲げモーメント(M_y , M_u)と曲率(ϕ_y , ϕ_u)の計算で

図3 曲げモーメントと曲率の分布

は、コンクリートおよび鉄筋の応力(σ)—ひずみ(ϵ)関係を図2のように仮定し、 M_y , ϕ_y は引張鉄筋が降伏点に達するとして、また、 M_u , ϕ_u はコンクリートの終局ひずみを $\epsilon_c = 0.0035$ と仮定して求められる。このようにして求

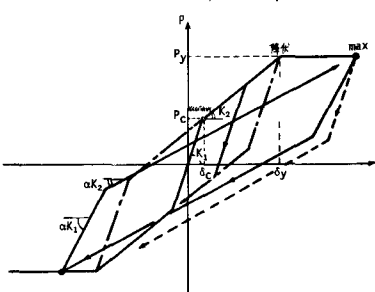


図3 曲げモーメントと曲率の分布

ま、た曲げモーメント(M)—曲率(ϕ)の関係より、高さ方向の曲げモーメント、曲率の分布を図3のように仮定する。そして、図3より、橋脚上端のせん断力(R)と橋脚上端の変位(δ)の関係をモーメントエリヤ法により求め、水平力(R)—変位(δ)の関係を図4のような折線OCYUに近似し、図5のような履歴曲線を描かせる。

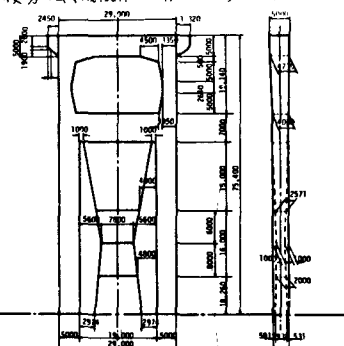


図1 対象構造物の橋脚

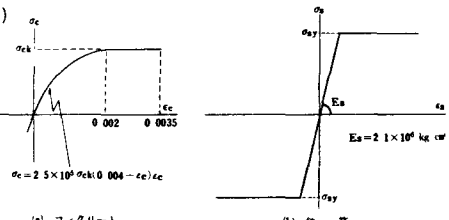


図2 応力とひずみの関係

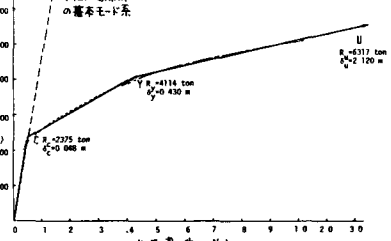


図4 荷重と変位の関係

オイルダンパーの特性¹⁾は図6のようになり、数値解析時には次に示す多項式近似を用いた。

$$F_c = C_1 V + C_2 V^3 + C_3 V^5 + C_4 V^7 + C_5 V^9 \quad (F_c: \text{ダンパー力 (kN)}, V: 7\text{径間高架部と橋台BB-1Aの相対速度 (cm/sec)})$$

, $C_1 \sim C_5$:係数)。また、摩擦支承は摩擦力と応答滑り量の関係²⁾を図7のように仮定する。

運動方程式は、7径間部を表わす1自由度系と橋台BB-1Aの2自由度剛体と変位制御装置を介しての連成系モデル(図8参照)を考え、以下のように説明される。

$[M]\{\ddot{x}\} + [C(x)]\{\dot{x}\} + [K(x)]\{x\} = -\{F\}$ ($[M]$:質量マトリックス, $[C(x)]$:減衰マトリックス, $[K(x)]$:剛性マトリックス, \dot{x} :応答加速度ベクトル, \ddot{x} :応答速度ベクトル, x :応答変位ベクトル, F :外力ベクトル)

3. 解析結果

7径間部のみで入力地震波の加速度レベルと共に変位応答の変化を調べた結果、入力レベルが非常に大きくなると応答状態において塑性域(ひびわれ限界を越してからの領域)でのトリットが大きくなり弾性域内の応答と全く様相が異なってくる。塑性域に応答が入ると、剛性の低下により対象系の周期特性が伸びると共に履歴復元力特性によく減衰効果が増す。これらの現象がその後の応答を減少させることになる。(図9、表-7参照) 今回の対象モデルでは、EL CENTRO NS成分を入力とすると応答が最大入力加速度150galでコンクリートのひび割れ限界を越すが、降伏限界に達するのは最大入力加速度1000gal程度となる。次に、橋脚部の変位に対する変位制御装置の効果を調べた結果、オイルダンパーも摩擦支承もそれに対象としたパラメータの範囲内では効果は同程度である。しかし、変位制御装置を設置しない7径間高架部のみ線形および非線形応答を比較してみると、弾塑性履歴挙動による応答減衰効果の方が支配的であることが判かった。特にせん断力にかけては線形時の半分以下にまで下がっている。(表-7参照) 入力に八戸NS成分を使用した場合の弾塑性応答を、

EL CENTRO NS成分を入力とした場合と比較すると、入力地震波の波形特性が応答に顕著に現われる。つまり、線形時の応答は八戸NS成分の方がEL CENTRO NS成分より大きい。そして弾塑性挙動による応答の低減率も大きい。

参考文献

- 1)本州四国連絡橋公団、(株)総合技術コンサルタント、宇喜高架橋下部工実施設計報告書および設計図、昭和54年6月
- 2)太田実; 単一柱形式鉄筋コンクリート橋脚の耐震設計法に関する研究、土木研究所報告第153号、建設省土木研究所、昭和55年3月、pp.123-260
- 3)音川、遠藤、洞毛; 免震機能をもつ橋梁の振動特性解析、第15回地震工学研究発表会講演概要、1979, pp.249-252

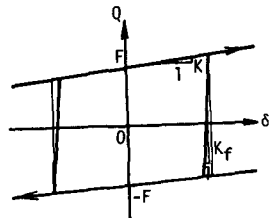
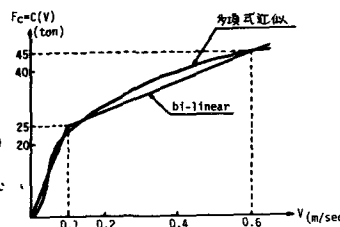


図6 オイルダンパー特性

図7 摩擦力と滑り量の関係

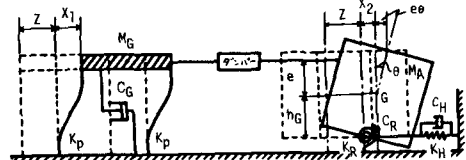


図8 解析対象モデル

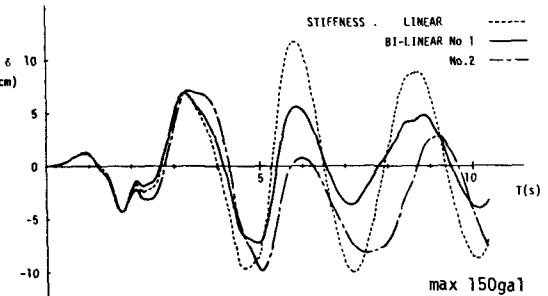


図9 7径間高架部の弾塑性応答(入力: EL CENTRO NS-40)

表1 弾塑性応答の最大値

入力 EL.CENTRO NS - 40 Max 150 gal

STIFFNESS	LINEAR		BI-LINEAR		
	No.1	No.2	No.1	No.2	No.1
ビア断面					
オイルダンパー本数	0	10	0	10	0
フリ期間の変位 T(s)	11.61	9.75	7.30	6.59	9.88
せん断力 (t)	5.82	5.78	4.92	4.58	5.00
せん断力 (t)	5213.6	4378.0	2489.3	2460.3	2222.2
アバントの変位 T(s)	3.91	3.87	3.91	3.87	3.91
相対変位 T(s)	2.22	2.22	2.22	2.22	2.22
相対変位 T(s)	11.99	10.40	8.37	7.28	10.25
相対速度 T(s)	5.72	5.68	3.38	3.38	5.14
相対速度 T(s)	46.16	42.00	40.65	38.80	40.99
速度 T(s)	5.40	5.40	2.68	2.68	2.70
オイルダンパー力 (t)			394.4	365.5	373.6